

3. Борисов Ал. А., Борисов А. А., Кутателадзе С. С., Накоряков В. Е. Эволюция волн разрежения вблизи термодинамической критической точки // Письма в ЖЭТФ.— 1980.— Т. 31, № 11.
4. Иванов А. Г., Новиков С. А. Ударные волны разрежения в железе при взрывном нагружении // ФГВ.— 1986.— Т. 22, № 3.
5. Уббелоде А. Р. Расплавленное состояние вещества.— М.: Металлургия, 1982.
6. Павлов В. А. Аморфизация структуры металлов и сплавов с предельно высокой степенью пластической деформации // Физика металлов и металловедение.— 1985.— № 4.
7. Павлов В. А. Высокие пластические деформации и природа аморфных и ультраподисперсных металлических систем // IV Всесоюз. семинар «Структура дислокаций и механические свойства металлов и сплавов»: Тез. докл.— Свердловск, 1987.
8. Ландау Л. Д., Лишинц Е. М. Статистическая физика.— М.: Наука, 1986.— Ч. 1.
9. Харрисон У. Электронная структура и свойства твердых тел.— М.: Мир, 1983.— Т. 2.

г. Минск

Поступила 14/VI 1988 г.

УДК 533.95

*A. A. Авдеева, Ю. П. Захаров, В. В. Максимов,  
A. M. Оришич, A. Г. Пономаренко, B. Г. Посух,  
B. H. Сытников, A. C. Яценко*

## СОЗДАНИЕ СФЕРИЧЕСКИХ ОБЛАКОВ ЛАЗЕРНОЙ ПЛАЗМЫ ДВУХСТОРОННИМ ОБЛУЧЕНИЕМ

Широкое применение лазерной плазмы в научных исследованиях (лабораторное моделирование нестационарных астрофизических процессов [1], заполнение плазменных ловушек [2] и т. п.) стимулировало работы по созданию потоков плазмы различной конфигурации, в том числе и наиболее важных — сферических облаков.

Известно, что одним лучом создать симметрично расширяющийся поток не удается даже при облучении легкого испаряющейся дейтериевой таблетки [3]. Применяемый в работах по ЛТС метод получения сферически-симметричной плазмы равномерным облучением круглой мишени является технически сложным. Он связан с использованием особой камеры и большого числа лучей ( $>9$ ), что существенно затрудняет его применение в широкомасштабных плазменных установках специального назначения.

Цель данной работы — изучить возможности получения сферически расширяющихся облаков при простом двухстороннем облучении таблетки и влияния геометрии мишени — плоской, цилиндрической и сферической — на структуру плазменной короны.

Опыты проводились на стенде КИ-1, предназначенном для лабораторного моделирования нестационарных астрофизических явлений [4], в котором лазерная плазма применяется, например, в экспериментах по исследованию механизмов бесстолкновительного торможения оболочек сверхновых звезд окружающей средой [5]. Стенд включает вакуумную камеру диаметром 1,2 м, длиной 5 м с остаточным давлением  $10^{-4}$  Па и источник лазерного излучения с регулируемой в диапазоне  $\tau_r = 0,05 - 1,0$  мкс длительностью импульса,  $\lambda = 10,6$  мкм, энергией  $Q_r \simeq 1$  кДж.

В опытах использовались три типа мишени: сферическая  $\varnothing = 1 - 3$  мм, цилиндрическая — нить  $\varnothing \simeq 0,3$  мм и плоская — пластина толщиной 5 мм. Все мишени изготавливались из капролона  $(C_6H_{11}ON)_n$  [6]. Излучение лазерного источника делилось на два одинаковых пучка, которые фокусировались с противоположных радиальных направлений на таблетку, расположенную в центре камеры. Оси пучков наклонены к плоскости, перпендикулярной оси камеры под углом  $10^\circ$ . Сферическая мишень подвешивалась на тонкой  $\sim 0,1$  мм металлической нити, цилиндрическая — вдвигалась по оси камеры. Плоская мишень устанавливалась в этом же месте, но облучалась с одной стороны под углом  $\alpha = 30^\circ$  к нормали поверхности. Сечение пучка в области мишени  $S = d^2 = 16$  мм $^2$ . В данных опытах использовался импульс колоколообразной формы длительностью на полувысоте 0,5 мкс. Поток средней мощности на мишени  $J_r \simeq 3 \cdot 10^9$  Вт/см $^2$ .

Диагностический комплекс включал электрические зонды [7], коллекторы потока ионов  $j_r$  [8], интерферометр Маха — Цандера на  $\lambda =$

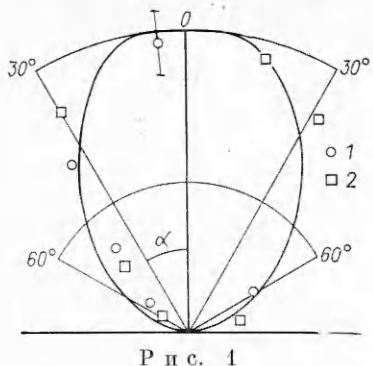


Рис. 1

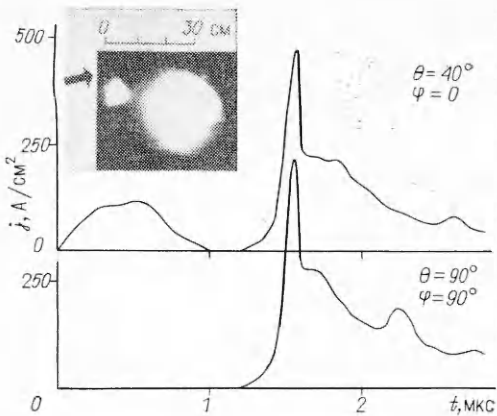


Рис. 2

$\approx 0,694$  мкм с визуализацией поля  $50 \times 50$  мм, временное разрешение  $\sim 30$  нс, электронно-оптический преобразователь и анализатор массового и зарядового состава [8]. Большое количество ( $\sim 10$ ) специальных вводов, а также подвижные зонды позволяли проводить одновременно измерения под различными углами ( $\theta, \varphi$ ) и на различных расстояниях ( $R = 20-60$  см) от мишени. Интерферометрические измерения контролировали концентрацию плазмы при  $R \leq 1,0$  см. Число частиц в облаке и их полная энергия определялись методом, описанным в [9].

Измерения показали, что распределение числа частиц в облаке, распространяющихся в единицу телесного угла  $\left( dN/d\Omega = R^2 \int_0^\infty j_r dt \right)$ , обусловлено геометрией мишени. Так, для плоской мишени наблюдалось известное распределение  $dN/d\Omega \simeq \cos^k \alpha$  [10], где  $k = 2-3$ ;  $\alpha$  — угол, отсчитываемый от нормали к поверхности. Цилиндрическая мишень, когда длина ее превышала диаметр, характеризовалась подобным же распределением в плоскости, совпадающей с осью нити  $dN/d\Omega \sim j_r \sim \sin^k \theta$  ( $\theta = \pi/2 - \alpha$  — угол относительно оси). На рис. 1 данные для плоской мишени обозначены 1, для нити — 2, сплошная линия — функция  $\cos^2 \alpha$ . В плоскости, перпендикулярной ните, наблюдалась аксиальная относительно оси мишени симметрия потока. Отклонение параметров, измеренных под различными углами  $\varphi$ , не превышало  $\pm 15\%$  по числу частиц и  $\pm 10\%$  по средней скорости.

Применение круглой мишени позволило создать практический сферическое облако. На рис. 2 показаны эпограмма свечения облака и плотность потоков ионов  $j_r$  под различными углами  $\theta$  и  $\varphi$  на  $R = 21$  см. Видно хорошее совпадение потоков. Здесь же приведена форма импульса излучения, стрелкой отмечен отблеск свечения плазмы в зеркале фокусирующей системы. При диаметре таблетки 3 мм получено  $3 \cdot 10^{18}$  ионов с полной энергией  $\sim 125$  Дж (эффективность  $\sim 0,25$ ).

Таким образом, в условиях нашего эксперимента при относительно невысокой мощности ( $J_r \sim 3 \cdot 10^9$  Вт/см<sup>2</sup>) распределение потока плазмы в некоторой плоскости пространства определялось геометрией сечения мишени этой плоскостью. В частности, при облучении нити проявляются свойства потока, присущие как сфере — аксиальная симметрия, так и плоскости — распределение плазмы вдоль нити. Существенным является то обстоятельство, что сферическая (или аксиальная) симметрия выполнялась не только для интегральных параметров плазмы (числа частиц  $dN/d\Omega$ , средней скорости  $V$ ), но и для структуры потока. Так, при облучении круглой мишени импульсом большой длительности ( $\tau_r \geq 0,5$  мкс) наблюдалось формирование тонкой ( $\Delta R/R \leq 0,1$ ) сферической оболочки повышенной концентрации на переднем фронте облака, соответствующей максимуму потока на рис. 2. Механизм создания данной оболочки, исследованный экспериментально [4] и методами численного моделирования

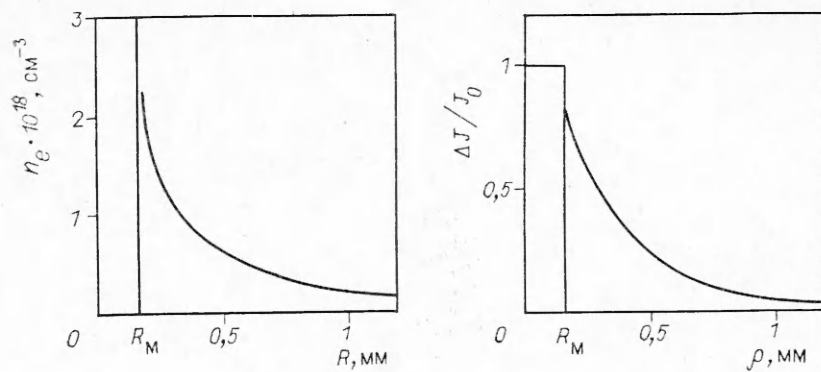


Рис. 3

[11], связан с нестационарностью процесса формирования плазмы вблизи мишени, обусловленной конечной величиной фронта импульса  $\tau_\phi$ , превышающей гидродинамический масштаб ускорения ионов ( $\tau_\phi \gg d/c_s$ ,  $c_s$  — скорость звука). В результате возрастания мощности в течение  $\tau_\phi$  создается поток плазмы с непрерывно увеличивающейся скоростью, взаимодействие его с передними слоями плазмы приводит к формированию разрыва, распад которого сопровождается возникновением области сжатия, распространяющейся в виде оболочки на границу облака с вакуумом. При цилиндрической мишени аксиально-симметричная оболочка возникает в основном квазиперпендикулярно оси при углах  $\theta = 60-120^\circ$ .

Наличие сферической симметрии облака при круглой таблетке показывает, что процесс формирования потока под разными углами происходит одинаково при явно неравномерном облучении ее поверхности. Данное обстоятельство позволяет предположить, что в этом случае в плазменной короне осуществляется процесс выравнивания поглощенной энергии по поверхности мишени. Рассмотрим возможный механизм, обеспечивающий равномерный прогрев таблетки. Типичное распределение концентрации плазмы по радиусу  $n_e(R)$  вблизи мишени-нити  $\mathcal{O} = 0,3$  мм при  $J_r \simeq 2 \cdot 10^9$  Вт/см<sup>2</sup>,  $\tau_r = 0,52$  мкс и соответствующие ему результаты расчета доли поглощенного потока мощности, распространяющегося через плазму рядом с мишенью  $\Delta J_r/J_r$ , в зависимости от прицельного параметра  $\rho$  луча для  $T_e = 20$  эВ [10] показаны на рис. 3. С учетом малой сходимости ( $< 0,1$ ) лазерный пучок вблизи мишени считался параллельным. Эффект рефракции при  $n_e < 2,5 \cdot 10^{18}$  см<sup>-3</sup> незначителен. При нахождении  $\Delta J_r/J_r$  учитывалось только поглощение на пути луча до плоскости мишени за счет обратного тормозного механизма с локальным коэффициентом [12]

$$K = \omega_p^2 / [c\omega(\omega^2 - \omega_p^2)^{1/2}],$$

где  $\tau^{-1}$  — частота электрон-ионных столкновений;  $\tau = 2,4 \cdot 10^4 T_e^{3/2} / n_e z$ ;  $T_e$  — температура электронов, эВ;  $z$  — заряд иона;  $\omega_p = (4\pi n e^2 / m)^{1/2}$  — плазменная частота;  $\omega$  — частота излучения.

На рис. 3 видно, что доля энергии, поглощаемая в сечении мишени при  $\rho \leq R_m$  ( $R_m = \mathcal{O}/2$ ), оказывается сравнимой с энергией, поглощенной при  $\rho > R_m$ . Характерный размер слоя поглощения увеличивался при уменьшении кривизны поверхности от  $\delta \sim 0,3$  мм для  $\mathcal{O} = 0,3$  мм до  $\delta \sim 4$  мм для плоской поверхности. Оценки показывают, что поглощение энергии в слое происходит со сравнимой эффективностью как при нормальном падении луча, так и при касательном.

Были проведены дополнительные эксперименты по изучению особенностей поглощения излучения лазерной плазмой для цилиндрической мишени  $\mathcal{O} < d$  при одностороннем облучении. Измерялась энергия лазерного пучка, прошедшего мимо нити в двух режимах: 1 — в отсутствие плазмы при  $J_r \simeq 10^6$  Вт/см<sup>2</sup>, 2 — при ее наличии,  $J_r \simeq 3 \cdot 10^9$  Вт/см<sup>2</sup>. Апертура

ра системы измерения позволяла регистрировать прошедший сигнал с учетом возможного рефракционного отклонения. Измерения показали, что доля излучения, задерживаемая мишенью и окружающей плазмой в режиме 2, примерно в 2 раза превышает соответствующие потери в режиме 1. Данный опыт подтверждает наличие слоя  $\delta \sim R_m$ , в котором эффективно поглощается энергия лазерного излучения.

Рассмотрим условия, при которых излучение может поглощаться в короне. Оценки, аналогичные приведенным в [12], показывают, что интегральный коэффициент поглощения

$$K_t = \xi L / (c\tau_*).$$

Здесь  $L = \left( \frac{1}{n_e} dn_e/dR \right)^{-1}$  — характерный размер неоднородности плазмы;  $\tau_*$  — время столкновений, определяемое при критической плотности;  $\xi$  — параметр, учитывающий конкретное распределение плотности. Согласно  $T_e \sim 1 \cdot 10^{-3} J_r^{4/9}$  [10, 13], из условия  $K_t \geq 1$  получаем оценку потока мощности, при котором излучение будет поглощаться в слое толщиной  $L$ :  $J_r \leq 9 \cdot 10^{12} (\xi z L)^{3/2}$ . Так, для  $L \simeq R_m = 0,015$  см,  $z = 3$ ,  $\xi \sim 1$  имеем  $J_r \leq 10^{11}$  Вт/см<sup>2</sup>.

Отметим, что найденное соотношение фактически определяет условие поглощения энергии за счет обратного тормозного механизма в лазерной плазме при любой конфигурации мишени. Для случая с плоской мишенью аналогичные расчеты приведены в [14].

Таким образом, рассмотрено влияние геометрии мишени на конфигурацию плазменной короны и впервые экспериментально показана возможность и оценено условие создания сферических облаков плазмы при простом двухстороннем облучении круглых таблеток.

В заключение отметим, что в восстановлении пространственного распределения концентрации электронов  $n_e$  в работе использовался пакет программ вычислительной томографии «TOPAS» [15]. Авторы благодарят В. В. Пикалова за помощь и консультации в этой части работы.

#### ЛИТЕРАТУРА

1. Антонов В. М., Башурин В. П., Голубев А. И. и др. Исследование взаимодействия потоков бесстолкновительной плазмы при больших числах Альфвена — Маха // ДАН СССР. — 1986. — Т. 289, № 1.
2. Пехачек Р. Е., Грэйл Д. Р., Рейли М. и др. Создание плазмы путем облучения дейтериевых таблеток двумя последовательными импульсами от различных лазеров // ПНИ. — 1981. — № 3.
3. Walker A. C., Kogoshi S. et al. Production of isolated energetic, D<sub>2</sub>, plasmas by CO<sub>2</sub> lasers // Optics Commun. — 1978. — V. 27, N 2.
4. Антонов В. М., Захаров Ю. П., Максимов В. В. и др. Применение лазерной плазмы для лабораторного моделирования астрофизических процессов // Мощные CO<sub>2</sub>-лазеры для плазменных экспериментов и технологий. — Новосибирск: ИТПМ СО АН СССР, 1986.
5. Zakharov Yu. P., Orishich A. M., Ponomarenko A. G. et al. Laboratory simulation of collisionless coupling between Supernova remnants and magnetized interstellar medium // Plasma Astrophys.: Joint Varenna-Abastumani Intern. School and Workshop, Sukhumi, 1986. — (SP/Europ. Space Agency; N 251).
6. Энциклопедия полимеров/Под ред. В. А. Каргина.— М.: Сов. энциклопедия, 1972.— Т. 1.
7. Захаров Ю. П. Особенности зондовых методов исследования взаимодействия потоков лазерной плазмы с замагниченной фоновой средой // Мощные CO<sub>2</sub>-лазеры для плазменных экспериментов и технологий. — Новосибирск: ИТПМ СО АН СССР, 1986.
8. Антонов В. М. Особенности диагностики корпускулярного состава и параметров интенсивных потоков лазерной плазмы на стенде КИ-1 // Мощные CO<sub>2</sub>-лазеры для плазменных экспериментов и технологий. — Новосибирск: ИТПМ СО АН СССР, 1986.
9. Антонов В. М., Захаров Ю. П., Максимов В. В. и др. Исследование условий формирования облаков лазерной плазмы с числом частиц  $N \sim 10^{19}$  при двухимпульсном облучении мишени. — Новосибирск, 1984.— (Препр./ИТПМ СО АН СССР; № 13—84).
10. Рэди Дж. Действие мощного лазерного излучения.— М.: Мир, 1971.
11. Оришич А. М., Пономаренко А. Г., Сытников В. Н. Управление пространствен-  
5 ПМТФ № 6, 1989 г

- ной структурой облака лазерной плазмы при его разлете в вакуум // ПМТФ.— 1989.— № 3.
12. Доусон Дж., Коу П., Грин Б. Поглощение света и расширение плазмы, создаваемой с помощью лазера // Лазеры и термоядерная проблема.— М.: Атомиздат, 1973.
  13. Быковский Ю. А., Неволин В. Н. Лазерная масс-спектрометрия.— М.: Энерготомиздат, 1985.
  14. Montes A., Hubbard M. et al. Classical absorption and heat conduction in low-irradiance, long-pulse CO<sub>2</sub>-laser-plasma interactions // Appl. Phys. Lett.— 1980.— V. 36, N 8.
  15. Никалов В. В. Пакет прикладных программ, ориентированных на задачи вычислительной томографии.— Новосибирск: ВЦ СО АН СССР, 1985.

г. Новосибирск

Поступила 13/VII 1988 г.

УДК 541.183

Л. К. Филиппов

## ФРОНТАЛЬНЫЕ РЕЖИМЫ ДИНАМИКИ ФИЗИЧЕСКОЙ АДСОРБЦИИ СМЕСЕЙ

Анализ фронтальных режимов динамики физической адсорбции многоокомпонентных смесей для разного типа теоретических моделей, учитывающих различные механизмы межфазного массообмена, представляет теоретический и практический интерес для выбора оптимальных режимов адсорбционного разделения смесей [1]. Для простейшей теоретической модели динамики адсорбции (равновесной модели идеального вытеснения), которая описывается гиперболической в узком смысле системой квазилинейных уравнений, анализ фронтальных режимов в большинстве случаев [2, 3] проводится с помощью условий Лакса [4—6]. Для теоретических моделей динамики адсорбции смесей с учетом размыкающих факторов, которые описываются смешанной квазилинейной системой уравнений, в [7] получены условия реализации фронтальных режимов, зависящих не только от вида изотерм адсорбции, как в случае простейшей модели для гиперболических уравнений, но и от значений коэффициентов массообмена, характеризующих различные механизмы межфазного массообмена. Гиперболические системы уравнений динамики адсорбции смесей могут допускать существование в рамках условий Лакса нескольких (неединственность) фронтальных режимов [8].

В настоящей работе обсуждается вопрос о выборе единственного фронтального режима с помощью анализа аналитических решений для уравнений динамики адсорбции смесей с учетом приближенных модельных уравнений, учитывающих межфазный массообмен.

1. Фронтальная динамика физической адсорбции многоокомпонентных смесей описывается системой квазилинейных уравнений материального баланса и кинетики межфазного массообмена для каждого компонента смеси [7]:

$$(1.1) \quad \begin{aligned} \partial c_m / \partial t + u \partial c_m / \partial z + \delta \partial q_m / \partial t &= \sum_{k=1}^n D_{mk}^{(l)} \partial^2 c_k / \partial z^2, \quad \delta = (1 - \sigma)/\sigma, \\ \partial q_m / \partial t &= \sum_{k=1}^n G_{mk} [f_k(c) - q_k], \quad 1 \leq m, \quad k \leq n. \end{aligned}$$

Здесь  $c_m$  — концентрация  $m$ -го компонента смеси в подвижной фазе;  $q_m$  — концентрация  $m$ -го компонента смеси в адсорбированной фазе;  $f_m(c)$  — уравнения изотерм адсорбции;  $u$  — линейная скорость потока;  $D_{mk}^{(l)}$  — коэффициент диффузии ( $m = k$ ) и взаимной диффузии ( $m \neq k$ );  $G_{mk}$  — коэффициенты межфазного массообмена;  $n$  — число компонентов смеси.

Для простейшей равновесной ( $1/G_{mk} = 0$ ) модели идеального вытеснения ( $D_{mk}^{(l)} = 0$ ) система (1.1) превращается в гиперболическую

$$\frac{\partial c_m}{\partial t} + u \frac{\partial c_m}{\partial z} + \delta \frac{\partial f_m(c)}{\partial t} = 0, \quad 1 \leq m \leq n,$$

которую запишем в матричном виде

$$(1.2) \quad \frac{\partial c_m}{\partial t} + u B_{mk} \frac{\partial c_k}{\partial z} = 0,$$

$$B_{mk}^{-1} = E_{mk} + \delta f_{mk}, \quad f_{mk} = \partial f_m / \partial c_k$$